

TPLV07 - Cube orthotrope

Résumé :

Ce test est issu de la validation indépendante de la version 3 en thermique stationnaire linéaire.

Il valide les éléments thermiques volumiques sous des conditions de flux imposé, de convection mais aussi de variation linéaire de la température extérieure.

Les résultats sont comparés avec une solution analytique (VPCS).

Dans ce test on vérifie également le calcul d'intégrale sur le bord d'un domaine thermique ainsi que le calcul de l'énergie thermique avec matériau orthotrope sur des éléments 3D.

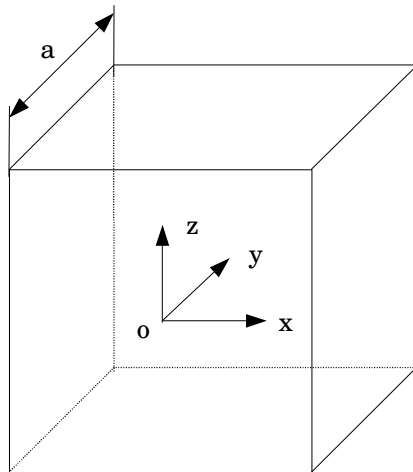
Pour ce dernier point deux calculs sont faits en plus de celui avec le matériau orthotrope :

- un calcul avec matériau isotrope (mot-clé THER de DEFI_MATERIAU) servant de référence
- un calcul avec matériau isotrope mais utilisant le mot-clé THER_ORTH de DEFI_MATERIAU validé par le premier calcul.

Pour le calcul réellement orthotrope on utilisera une référence NON_REGRESSION .

1 Problème de référence

1.1 Géométrie



Cube d'arête $a = 0.2$ m
Centre du cube = $(0.,0.,0.)$

1.2 Propriétés du matériau

$\lambda_x = 1.0 \text{ W/m.}^\circ\text{C}$ Conductivité thermique suivant l'axe x
 $\lambda_y = 0.75 \text{ W/m.}^\circ\text{C}$ Conductivité thermique suivant l'axe y
 $\lambda_z = 0.50 \text{ W/m.}^\circ\text{C}$ Conductivité thermique suivant l'axe z

1.3 Conditions aux limites et chargements

- Densité de flux normal :
 - $\varphi_n = 60 \text{ W/m}^2$ face $y = -0.1$ (flux entrant),
 - $\varphi_n = -60 \text{ W/m}^2$ face $y = 0.1$ (flux sortant),
 - $\varphi_n = 30 \text{ W/m}^2$ face $z = -0.1$ (flux entrant),
 - $\varphi_n = -30 \text{ W/m}^2$ face $z = 0.1$ (flux sortant),
- Convection sur les faces $x = -0.1$ et $x = 0.1$: $h = 15 \text{ W/m}^2\text{.}^\circ\text{C}$,
- Variation linéaire des températures extérieures,
 - $T_{ext} = 30 - 80y - 60z$ face $x = -0.1$,
 - $T_{ext} = 15 - 80y - 60z$ face $x = 0.1$.

1.4 Conditions initiales

Sans objet.

2 Solution de référence

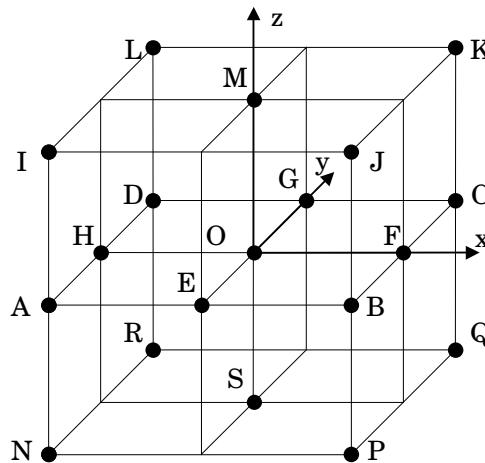
2.1 Méthode de calcul utilisée pour la solution de référence

La solution de référence est celle donnée dans la fiche TPLV07/89 du guide VPCS.

Il s'agit d'une solution analytique donnée par la formule suivante :

$$\begin{aligned} T(x, y, z) &= ax + by + cz + d \\ &= -45x - 80y - 60z + 22.5 \end{aligned}$$

| Point | T(°C) |
|-------|-------|
| O | 22.5 |
| A | 35.0 |
| B | 26.0 |
| C | 10.0 |
| D | 19.0 |
| E | 30.5 |
| F | 18.0 |
| G | 14.5 |
| H | 27.0 |
| I | 29.0 |
| J | 20.0 |
| K | 4.0 |
| L | 13.0 |
| M | 16.5 |
| N | 41.0 |
| P | 32.0 |
| Q | 16.0 |
| R | 25.0 |
| S | 28.5 |



$$\begin{aligned} \Phi_x &= 45 \text{ W/m}^2 = \text{constante} \\ \Phi_y &= 60 \text{ W/m}^2 = \text{constante} \\ \Phi_z &= 30 \text{ W/m}^2 = \text{constante} \end{aligned}$$

La densité de flux normal imposée sur la face $y=0.1$ étant constante, le flux normal résultant se détermine analytiquement.

2.2 Résultats de référence

Température aux points cités dans le tableau ci-dessus.

Valeur du flux normal résultant sur la face située en $y=0.1$.

2.3 Incertitude sur la solution

Aucune (solution analytique).

2.4 Références bibliographiques

Guide de validation des progiciels de calcul de structures. Société Française des Mécaniciens, AFNOR 1990 ISBN 2-12-486611-7

3 Modélisation A

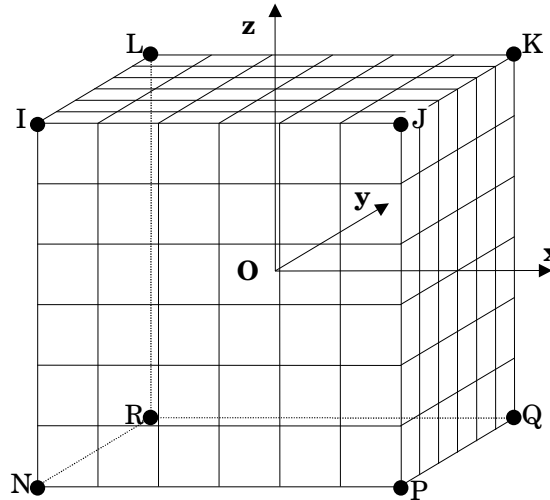
3.1 Caractéristiques de la modélisation

3D (HEXA8)

Conditions limites:

- face NPJI $\varphi_n = 60 \text{ W/m}^2$
- face RQKL $\varphi_n = -60 \text{ W/m}^2$
- face NPQR $\varphi_n = 30 \text{ W/m}^2$
- face IJKL $\varphi_n = -30 \text{ W/m}^2$

- face NRLI $h = 15 \text{ W/m}^2\text{°C}$
 $T_{\text{ext}} = 30-80y-60z$
- face PQKJ $h = 15 \text{ W/m}^2\text{°C}$
 $T_{\text{ext}} = 15-80y-60z$



Découpage:

- 6 éléments suivant x
- 6 éléments suivant y
- 6 éléments suivant z

3.2 Caractéristiques du maillage

Nombre de nœuds : 343
Nombre de mailles et types : 216 HEXA8 (et 216 QUAD8)

3.3 Remarques

La chaleur volumique ρC_p n'intervient pas dans ce test, mais doit être déclarée pour Code_Aster. On prend $\rho C_p = 1.0 \text{ J/m}^3 \text{°C}$.

3.4 Valeurs testées

| Identification | | Référence |
|----------------|------|----------------|
| Point | Nœud | $T(\text{°C})$ |
| O | N169 | 22.5 |
| A | N5 | 35.0 |
| B | N301 | 26.0 |
| C | N337 | 10.0 |
| D | N49 | 19.0 |
| E | N151 | 30.5 |
| F | N316 | 18.0 |
| G | N196 | 14.5 |
| H | N24 | 27.0 |
| I | N1 | 29.0 |
| J | N298 | 20.0 |
| K | N340 | 4.0 |

| | | |
|----------|-------------|------|
| <i>L</i> | <i>N44</i> | 13.0 |
| <i>M</i> | <i>N172</i> | 16.5 |
| <i>N</i> | <i>N2</i> | 41.0 |
| <i>P</i> | <i>N297</i> | 32.0 |
| <i>Q</i> | <i>N338</i> | 16.0 |
| <i>R</i> | <i>N43</i> | 25.0 |
| <i>S</i> | <i>N173</i> | 28.5 |

| Point | Maille | Nœud | $\varphi (W/m^2)$ |
|---------------|--------|------|-------------------|
| φ_x K | M211 | N340 | 45.0 |
| φ_x F | M201 | N316 | 45.0 |
| φ_x O | M129 | N169 | 45.0 |
| φ_y K | M211 | N340 | 60.0 |
| φ_y F | M201 | N316 | 60.0 |
| φ_y O | M129 | N169 | 60.0 |
| φ_z K | M211 | N340 | 30.0 |
| φ_z F | M201 | N316 | 30.0 |
| φ_z O | M129 | N169 | 30.0 |

| Face | Flux normal résultant $\int_{face} \varphi \cdot n dS (W)$ |
|---------|--|
| $y=0.1$ | -60.0 |

Tests du champ d'énergie thermique **ETHE_ELEM** :

Matériau isotrope

| Maille | Valeur de référence | Précision (en %) | Référence |
|--------|---------------------|------------------|-------------|
| M109 | -170,1559513297 | 0,1 | AUTRE_ASTER |

Matériau orthotrope

| Maille | Valeur de référence | Précision (en %) | Référence |
|--------|---------------------|------------------|----------------|
| M109 | -332,36296035464 | 1,0E-04 | NON_REGRESSION |

4 Synthèse des résultats

Les résultats obtenus sont excellents. Les valeurs calculées par *Aster* sont identiques aux valeurs de référence. Cela est un résultat "normalement attendu" puisque le champ solution qui est linéaire appartient à l'espace d'interpolation de l'élément testé.

Ce test a permis de tester les commandes suivantes :

- `DEFI_NAPPE` permettant de définir une variation de la température extérieure en fonction de l'abscisse x et de l'ordonnée y ,
- `DEFI_MATERIAU` associé au mot clé `THER_ORTH`, permettant de définir les caractéristiques d'un matériau orthotrope,
- `AFFE_CARA_ELEM` associé au mot clé `MASSIF`, permettant de définir les axes d'orthotropie.